

## ケーブル部材を有する骨組構造の弾塑性解析

大阪大学工学部 正員 前田 幸雄  
 大阪大学工学部 正員 林 正  
 大阪大学大学院 学生員 痛 一  
 大阪大学大学院 学生員 ○森 寛司

### 1. まえがき

ケーブル部材を有する骨組構造のマトリックス法による非線形解析では、ケーブル部材をリンク構造に置き換えれば、トラス部材の計算式を用いてサゲの影響を考慮した解析を行うことができる。しかし、リンク構造を用いると未知量が増加するため、計算の効率は著しく悪くなる。そこで本文では、弾性解析の場合<sup>1)</sup>と同じように、ケーブル部材を分割せずに、サゲの影響を考慮した平面ケーブル部材の弾塑性解析の計算式を説明した。骨組部材の解析法については省略する。

### 2. ケーブル部材の解析

(1) 解析仮定： ケーブル部材の解析では、次の仮定を用いた。

- 1) 荷重はケーブルの全長にわたって鉛直方向に等分布載荷する。
- 2) ケーブルの形状は、弾塑性状態においても放物線とする。
- 3) 材料は、図-1のような理想硬化弾塑性体とする。

ケーブルの任意な断面の応力とひずみを  $\sigma, \varepsilon$  とする。仮定3)により各応力状態に応じて次の関係式が成り立つ。

$$\begin{aligned} \varepsilon &= \sigma/E && \text{(弹性),} & \varepsilon &= \sigma/E + (\sigma_y - \sigma_u)(1/E - 1/E_t) && \text{(除荷),} \\ \varepsilon &= \sigma/E_t + \sigma_y(1/E - 1/E_t) && \text{(塑性),} & \varepsilon_b &= \sigma_b/E_t + \sigma_y(1/E - 1/E_t) && \text{(破断)} \end{aligned} \quad (1)$$

(2) ケーブルの塑性域： 図-2のように変形後の状態における座標系  $(x, y)$  を定め、以下の無次元量を定義する。

$$n = f/l, m = h/l, \beta = x/l, \gamma = y/l \quad (2)$$

図-2のようなケーブルでは a 端から塑性が始まり、 $x_1$  まで塑性化が進行した後となる。また、除荷が起きた後に再び塑性負荷の状態にある部分を  $x_2$  で示す。塑性域の座標を  $\beta_0$  で表わすと、図-3の場合も含めて一般的に次式のようになる。

$$\beta_0 = (4n+m)/8n \pm \sqrt{T_y^2 - H^2}/W \quad (0 \leq \beta_0 \leq 1) \quad (3)$$

ここで、 $T_y$  は降伏張力 ( $T_y = \sigma_y A$ )、 $W$  は全荷重 ( $W = wl$ ) を表す。

(3) ケーブル方程式： ケーブルの伸び  $\Delta C$  を、ケーブル全長  $C$  を弾性状態とした場合の伸び  $\Delta C_L$  と、塑性域  $C_p$  による補正伸び  $\Delta C_p$ 、除荷域  $C_u$  による伸び  $\Delta C_u$ 、塑性域と除荷域の両方  $C_{pu}$  による伸び  $\Delta C_{pu}$  を用いて次式のように表わす。ただし、 $\bar{\sigma}_u$  は除荷時にかけた  $C_u$  部分の平均応力である。

$$\Delta C = \Delta C_L + \Delta C_p + \Delta C_u + \Delta C_{pu} \quad (4)$$

$$\Delta C_L = \frac{Hl}{EA} \int_C \left\{ 1 + \left( \frac{dy}{dx} \right)^2 \right\} dx, \quad \Delta C_p = \frac{Hl}{EA} \left( \frac{E}{E_t} - 1 \right) \int_{C_p} \left\{ 1 + \left( \frac{dy}{dx} \right)^2 \right\} dx \quad (5)$$

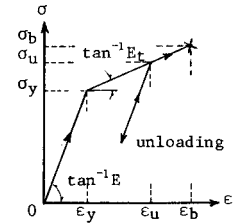


図-1 ケーブルの応力-ひずみ曲線

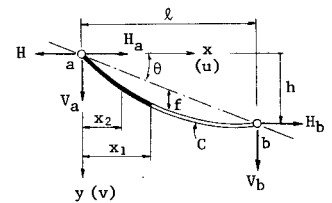


図-2 放物線ケーブル

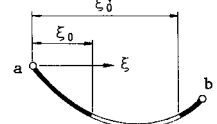


図-3 塑性域

$$\Delta C_u = \frac{\sigma_{ul}}{E} \left( \frac{E}{E_t} - 1 \right) \int_{C_{uv}} \sqrt{1 + \left( \frac{d\gamma}{d\zeta} \right)^2} d\zeta, \quad \Delta C_{pu} = - \frac{\sigma_{pl}}{E} \left( \frac{E}{E_t} - 1 \right) \int_{C_{pu}} \sqrt{1 + \left( \frac{d\gamma}{d\zeta} \right)^2} d\zeta \quad (6)$$

変形後のケーブルの適合条件は、ケーブルの無応力長を  $C_0$  とし、次式で与えられる。

$$C - \Delta C - C_0 = 0 \quad (7)$$

式(7)に変形後のケーブル長  $C$  を式(4)を代入し、さらに面辺に  $n$  を乗じた式を用いて、

$$\psi(n) = \frac{l}{16} S - \frac{Wl}{8EA} \left( 1 + \frac{16}{3} n^2 + m^2 \right) - \frac{l}{16} \left( \frac{1}{A} - \frac{1}{E} \right) \left( \frac{2W}{A} I_p - \sigma_u J_u + \sigma_y J_{pu} \right) - n C_0 = 0 \quad (8)$$

$S = 16n$

$$S = (4n+m) \sqrt{1+(4n+m)^2} + (4n-m) \sqrt{1+(4n-m)^2} + \log_e \left[ (4n+m) \sqrt{1+(4n+m)^2} / (4n-m) \sqrt{1+(4n-m)^2} \right] \quad (9)$$

また、 $I_p, J_u, J_{pu}$  は次式の不定積分による塑性域の長さは除荷域の積分区間を代入したものである。

$$I = \int \left\{ 1 + \left( \frac{d\gamma}{d\zeta} \right)^2 \right\} d\zeta = \left\{ 1 + (4n+m)^2 \right\} \zeta - 8n(4n+m) \zeta^2 + \frac{16}{3} n^2 \zeta^3 \quad (10)$$

$$J = -16n \int \sqrt{1 + \left( \frac{d\gamma}{d\zeta} \right)^2} d\zeta = (4n+m-8n\zeta) \sqrt{1+(4n+m-8n\zeta)^2} + \log_e \left\{ (4n+m-8n\zeta) \sqrt{1+(4n+m-8n\zeta)^2} \right\} \quad (11)$$

式(8)が、複合非線形解析におけるケーブル方程式である。ケーブルの負荷履歴に関する諸量と、境界条件としての  $l, h$  を与えれば、式(8)はサゲビンガム関数となる。

(4) 接線剛性行列：マトリックス解析に必要なケーブル部材の接線剛性行列は、各増分段階を基準状態とし、増分形式で表わされる。この行列は弾性解析の場合<sup>1)</sup>と同じように、式(8)から  $l, h, f$  の増分関係式を求め、この式に部材端変位の増分  $\Delta D$  と部材端力の増分  $\Delta F$  を代入すれば、通常、トラス部材と同じ形の式を導くことができる。

$$\Delta F = T \Delta k T^T \Delta D, \quad \Delta F = \{\Delta H_a, \Delta V_a, \Delta H_b, \Delta V_b\}^T, \quad \Delta D = \{\Delta u_a, \Delta v_a, \Delta u_b, \Delta v_b\}^T \quad (12)$$

$$T = \begin{bmatrix} T^* & 0 \\ 0 & T^* \end{bmatrix}, \quad T^* = \begin{bmatrix} \cos \theta & -\sin \theta \\ \sin \theta & \cos \theta \end{bmatrix}, \quad \Delta k = \begin{bmatrix} k^* & -k^* \\ -k^* & k^* \end{bmatrix}, \quad k^* = k \begin{bmatrix} a & 0 \\ 0 & b \end{bmatrix} \quad (13)$$

$$k = \frac{EA}{L} \left[ Y_1 - \frac{16}{3} \left( \frac{l}{L} \right)^2 n^2 Y_3 + \frac{128EA}{3W} \left( \frac{l}{L} \right)^4 n^4 \right]^{-1}, \quad a = \frac{C_o}{L} + \frac{W}{EA} \left( \frac{h}{L} \right) Y_2, \quad \left. \begin{array}{l} \\ \end{array} \right\} \quad (14)$$

$$b = \left( 1 - \frac{C_o}{L} \right) - \frac{W}{EA} \left( \frac{h}{L} \right) Y_2 - \frac{4W}{3EA} \left( \frac{l}{L} \right)^2 n Y_3 + \frac{40}{3} \left( \frac{l}{L} \right)^4 n^2, \quad L = \sqrt{l^2 + h^2}$$

$C_o$  は基準状態におけるケーブル長さであり、 $Y_1, Y_2, Y_3$  は塑性域の座標値  $\zeta_0, \zeta_1, \zeta_2$  に関する値である。

$$C_o = C_0 + \Delta C_u + \Delta C_{pu}, \quad Y_1 = 1 + \left( \frac{E}{E_t} - 1 \right) X_1, \quad Y_2 = \left( \frac{E}{E_t} - 1 \right) (X_1 - X_2), \quad Y_3 = 1 + \left( \frac{E}{E_t} - 1 \right) (3X_1 - 6X_2 + 4X_3) \quad (15)$$

$$X_1 = \zeta_0, \quad X_2 = \zeta_1, \quad X_3 = \zeta_2 \quad (\text{a端側が塑性化}); \quad X_1 = 1 - \zeta_0, \quad X_2 = 1 - \zeta_1, \quad X_3 = 1 - \zeta_2 \quad (\text{b端側が塑性化}) \quad (16)$$

### 3. 数値計算例

表-1 水平反力の比較

以上計算式の精度を確認するため、図-4に示す單一ケーブル材について数値計算を行った。

Load (W)	200	400	523.5*	600	800	1000	1204.3**
Sag ratio	0.114	0.144	0.157	0.171	0.212	0.252	0.289
H	218.7	347.5	416.0	439.7	471.5	496.6	521.4
Link	217.9	346.5	414.8	438.3	469.2	493.9	518.2

\* Yielding load : 520.4 (for sagging cable)  
\*\* Breaking load : 1213.6 (for sagging cable)

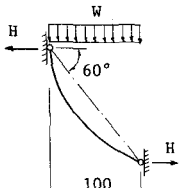


図-4 計算例

また、ケーブルを20等分割してリンク構造に置き換えた場合の値も求めた。計算に用いた諸量は次の通りである。

$$C_0 = 200, \quad A = 0.01, \quad E = 2.0 \times 10^7, \quad E_t = 1.55 \times 10^6, \quad \sigma_y = 1.062 \times 10^5, \quad \epsilon_b = 0.04$$

計算結果の一例を表-1に示した。両者の差は最大 0.6% で良好一致しているが、本解析法は計算時間と記憶容量が極めて少なくて済んで、複雑な構造物の解析に適用できる。

1) 前田・林・前田(研)：サゲを考慮したケーブル部材の計算式、土木学会論文報告集、No.257, 1977.